

Прямые методы для параллельных компьютеров

Рассмотрим систему линейных уравнений

$$Ax = b$$

с невырожденной матрицей A размера $n \times n$.

Будем полагать матрицу A заполненной и рассмотрим компьютеры
параллельной архитектуры

[LU – разложение]

Рассмотрим параллельную систему с локальной памятью
Пусть $p = n$, i -я строка матрицы A находится в i -м процессоре
Тогда один из возможных вариантов LU разложения

Шаг 1: $a_1 \rightarrow P_i, i = 2, \dots, n$

В $P_i (i=2, \dots, n)$ вычисляются l_{i1} и новые элементы $a_{ij} (j=2, \dots, n)$

Шаг 2: $a_2 \rightarrow P_i, i = 3, \dots, n$

В $P_i (i=3, \dots, n)$ вычисляются l_{i2} и новые элементы $a_{ij} (j=3, \dots, n)$

Недостатки: 1) Значительный объем обмена данных
2) Уменьшение на один активный процессор на каждом шагу

Альтернатива – хранение по столбцам

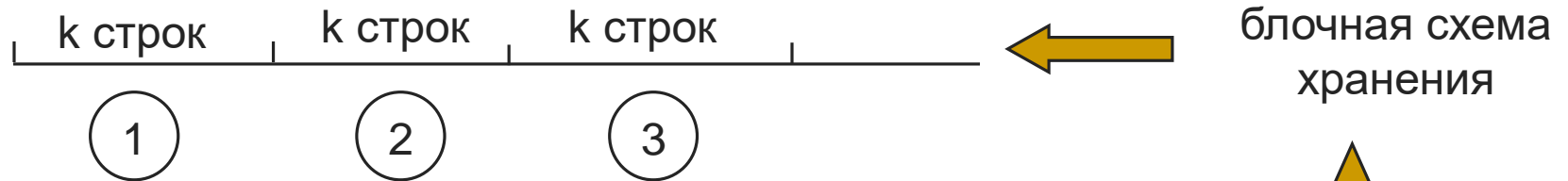
i -й столбец \rightarrow в i -й процессор

Тогда

l_{i1} вычисляется в $P_1 \rightarrow$ рассылка \rightarrow параллельная модификация

Слоистая схема хранения

Возникающие сложности – это проблема балансировки нагрузки
Реально $p \leq n$. В этом случае проблема балансировки смягчается
Пусть $n = k p$ и храним данные по строкам

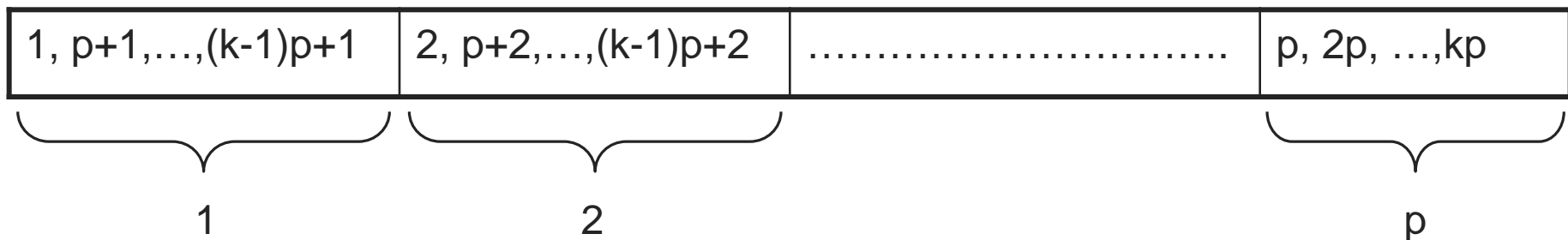


$f(k)$ = общее время вычислений / время обменов и простоев

Другая схема

$n = k p$

циклическая слоистая схема



Принцип слоистого хранения оправдан главным образом для систем с локальной памятью. Но его можно применять и в системах с глобальной памятью как средство распределения заданий между процессорами.

Однако в системах с глобальной памятью динамическая балансировка может осуществляться и с помощью банка заданий.

Обсудим LU разложение с помощью слоистой схемы

Обычный способ

Вычисление $l_{i1} \rightarrow$ модификация
соответствующих строк

→ начало (рассылка второй
второго шага строки остальным
процессорам)

ЗАДЕРЖКА

Выход – начать рассылку второй строки, как только она сосчитана

Это стратегия опережающей рассылки

Если можно совместить рассылку и обмен, то пока будет идти рассылка, процессоры будут заниматься модификацией.

Насколько выгодна такая стратегия для конкретной машины будет зависеть от топологии межпроцессорных связей.

Стратегию опережающей рассылки можно использовать и в системах с разделяемой памятью.

Здесь при прямолинейной реализации потребовалось бы *синхронизация* после каждого шага (не начать следующий шаг, пока не кончен предыдущий).

Стратегия опережающей рассылки теперь носит характер **стратегии опережающих вычислений**

Она меняет порядок действий, маркируя $k+1$ строку, как только ее модифицируют, - «ГОТОВО»

Теперь другие процессора, завершив свою работу, на k -м шаге, могут немедленно приступить к $k+1$ шагу, если $k+1$ строка «готова»

Это – **конвейеризация**

Проблемы частичного выбора главного элемента

Дополнительные аспекты проблемы хранения информации

1. А – циклическая столбцовая схема → поиск ГЭ в одном процессоре

Проста, но чревата опасностью простоя остальных процессоров во время поиска.

Эту опасность можно уменьшить, применяя

Стратегию Опережающих Вычислений и Рассылки

Ведущая строка → передать другим → параллельная работа по перестановке определена (явно или неявно)

2. А – циклическая строчная схема → поиск ГЭ во всех процессорах →

→ ответ в одном процессоре → разослать остальным → перестановка (2 процессора)

Надо принять решение, выполнять ли перестановку физически или переиндексировать – либо простой процессоров при работе двух, либо искажение циклической схемы хранения

ijk -формы и параллельно-векторные компьютеры

Приводимые обозначения

- kij, r – форма kij с использованием циклической слоистой строчной схемы
- kij, c – форма kij с использованием циклической слоистой столбцовой схемы
- ПВД – полные векторные длины, т.е. можно работать с векторами максимальной длины, допустимыми на данном шаге LU -разложения
- ЧВД – частичные векторные длины – соответственно данные распределены между процессорами и, следовательно, длины векторов / число процессоров

kij, r:	Минимальные задержки	ПВД
kij, c:	Задержки на вычисление множителей и рассылку	ЧВД
kji, r:	Минимальные задержки	ЧВД
kji, c:	Минимальные задержки	ПВД при наличии задержек
ikj, r:	Сильный дисбаланс нагрузки	ЧВД
ikj, c:	Задержки на вычисление множителей и рассылку	ЧВД
jki, r:	Большие расходы на обмены	ЧВД
jki, c:	Задержки на вычисление множителей и рассылку	ПВД при наличии задержек
ijk, r:	Большие расходы на обмены	
ijk, c:	Большие расходы на обмены	
jik, r:	Большие расходы на обмены	
jik, c:	Большие расходы на обмены	

Пример мелкозернистого алгоритма

В принципе LU-разложение можно организовать следующим образом (здесь каждый шаг соответствует параллельным вычислениям)

Шаг.1 Вычислить первый столбец множителей l_{i1} , $i = 2, \dots, n$.

Шаг.2 Вычислить модифицированные элементы

$$a_{ij}^1 = a_{ij} - l_{i1}a_{1j}, \quad i = 2, \dots, n, \quad j = 2, \dots, n.$$

Шаг 3. Вычислить второй столбец множителей l_{i2} , $i = 3, \dots, n$.

Шаг 4. Вычислить модифицированные элементы

$$a_{ij}^2 = a_{ij}^1 - l_{i2}a_{2j}^1, \quad i = 3, \dots, n, \quad j = 3, \dots, n.$$

.....
Шаг $2n-3$. Вычислить последний множитель $l_{n,n-1}$.

Шаг $2n-2$. Модифицировать элемент (n, n)

Поскольку для модификации любого элемента требуется две операции (+ и \times), то процесс завершится за **$3(n - 1)$** временных шагов.

В этой схеме предполагается, что в системе имеется по крайней мере $(n - 1)^2$ процессоров, которые необходимы на шаге 2.



Пример мелкозернистого алгоритма (продолжение)

В приведенном примере обойден важный вопрос обменов
Рассмотрим одну из схем, в которой пересылка данных между любыми двумя процессорами происходит за один шаг.

Пусть процессора пронумерованы, как элементы матрицы, т.е.

процессор P_{ij} производит пересчет элемента a_{ij}

Тогда схема предыдущего слайда модифицируется следующим образом:

Шаг 1. Вычислить l_{i1} в процессоре P_{i1} , $i = 2, \dots, n$.

Шаг 1а. Переслать l_{i1} в процессоры P_{ij} , $i = 2, \dots, n$, $j = 2, \dots, n$

Шаг 2. Вычислить a_{ij}^1 в процессоре P_{ij} , $i = 2, \dots, n$, $j = 2, \dots, n$.

Шаг 2а. Переслать a_{2j}^1 в P_{ij} , $i = 3, \dots, n$, $j = 2, \dots, n$.

.....

Если считать, что на каждом шаге все необходимые пересылки могут быть сделаны за единицу времени, то общее количество временных шагов увеличивается до **$O(5n)$**

Алгоритм потока данных

Пусть n^2 процессоров расположены в виде квадратной решетки и каждый соединен с четырьмя соседями.

Предполагаем:

- (1) время пересылки = времени вычислений
- (2) пересылка и вычисления могут проходить одновременно

Возможна следующая схема:

Шаг 1. Переслать a_{1j} из P_{1j} в P_{2j} , $j = 1, \dots, n$.

Шаг 2. Переслать a_{1j} из P_{2j} в P_{3j} , $j = 1, \dots, n$. Вычислить l_{21} .

Шаг 3. Переслать a_{1j} из P_{3j} в P_{4j} , $j = 1, \dots, n$.

Переслать l_{21} в P_{22} . Вычислить l_{31}

Шаг 4. Переслать a_{1j} из P_{4j} в P_{5j} , $j = 1, \dots, n$. Переслать l_{21} в P_{23} .

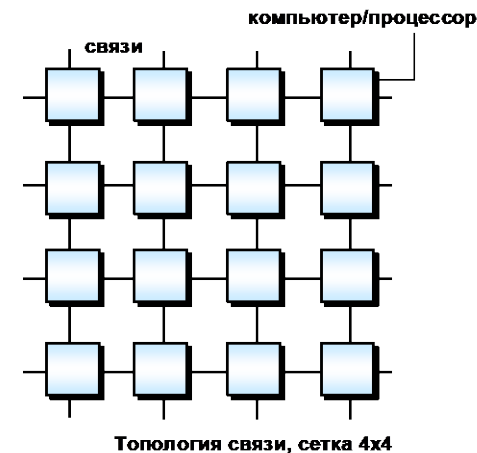
Переслать l_{31} в P_{32} . Вычислить l_{41} . Вычислить $l_{21}a_{12}$ в P_{22} .

Шаг 5. Переслать a_{1j} из P_{5j} в P_{6j} , $j = 1, \dots, n$. Переслать l_{21} в P_{24} .

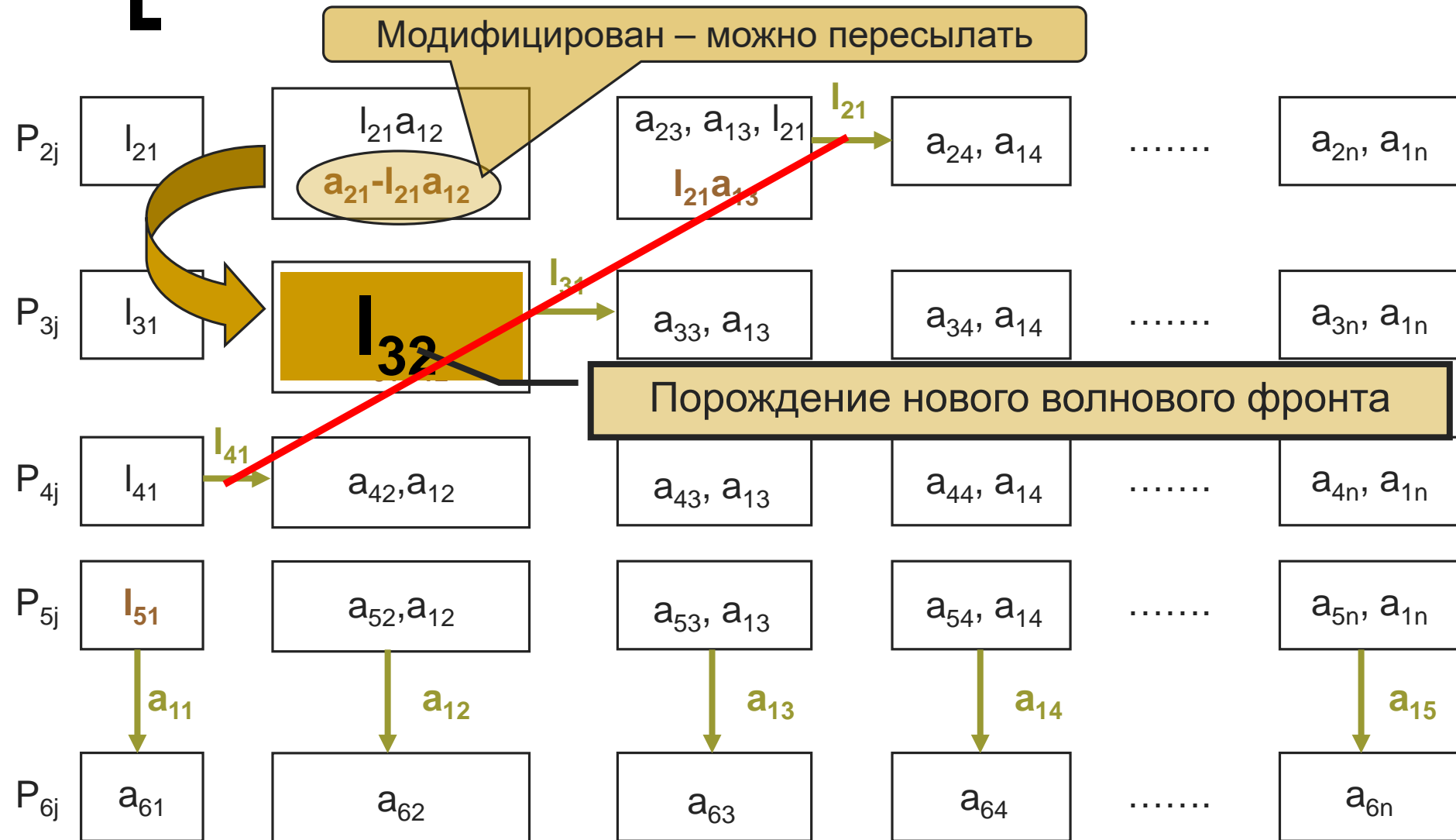
Переслать l_{31} в P_{33} . Переслать l_{41} в P_{42} . Вычислить l_{51}

Вычислить $a_{22}^1 = a_{22} - l_{21}a_{12}$ в P_{22}

Вычислить $l_{21}a_{13}$ в P_{23} . Вычислить $l_{31}a_{12}$ в P_{32}



]



Количество временных шагов для завершения факторизации

В конце пятого временного шага вычислен модифицированный элемент a_{22} множитель l_{21} находится в P_{24} , а в P_{23} вычислено произведение $l_{21}a_{13}$.

На каждом из последующих временных шагов завершается модификация очередного элемента, поэтому обработка второй строки будет закончена после $5+n-2 = n+3$ временных шагов (ВШ).

Второй этап разложения начинается через четыре временных шага после первого. Т.о. обработка третьей строки завершится через $n+7$ ВШ.

Продолжая действовать т.о. можно показать, что процесс факторизации потребует $n+3+4(n-2) = 5n - 5$ ВШ

$$S_p = \frac{O\left(\frac{2}{3}n^3\right)}{O(5n)} = O(n^2)$$

[Ленточные матрицы]

Для $k = 1$ до $n - 1$

Для $i = k + 1$

до $\min(k + \beta, n)$

$$l_{ik} = a_{ik} / a_{kk}$$

Для $j = k + 1$

до $\min(k + \beta, n)$

$$a_{ij} = a_{ij} - l_{ik} a_{kj}$$

Для $k = 1$ до $n - 1$

Для $s = k + 1$

до $\min(k + \beta, n)$

$$l_{sk} = a_{sk} / a_{kk}$$

Для $j = k + 1$

до $\min(k + \beta, n)$

Для $i = k + 1$

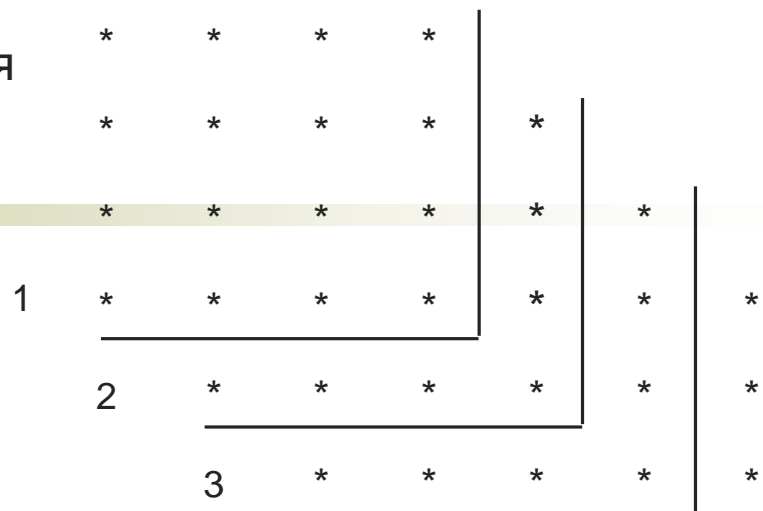
до $\min(k + \beta, n)$

$$a_{ij} = a_{ij} - l_{ik} a_{kj}$$

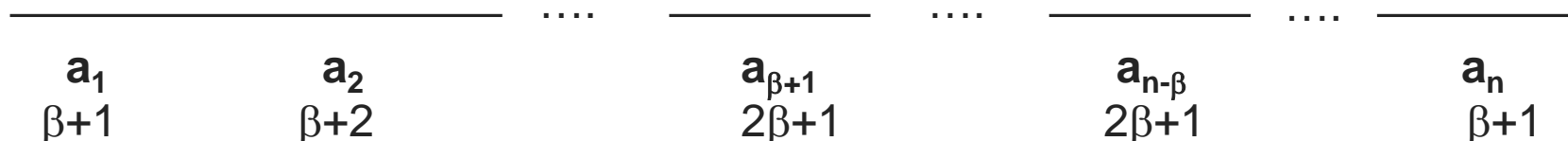
LU-разложение ленточной матрицы для строчно и столбцово ориентированных алгоритмов

При достаточно больших β псевдокод для полнозаполненных матриц может быть основой как для векторных, так и для параллельных компьютеров. При уменьшении β такой подход совершенно не подходит

Первые шаги LU -разложения
для ленточной матрицы
при $\beta = 3$



Строчная (столбцовая) схема хранения ленточных матриц



При параллельной реализации способ решения подобен векторным способам. β может рассматриваться как степень параллелизма.

Для полного использования процессоров должно соблюдаться условие $\beta \geq p$. Однако при выполнении этого условия дисбаланс нагрузки более вероятен.

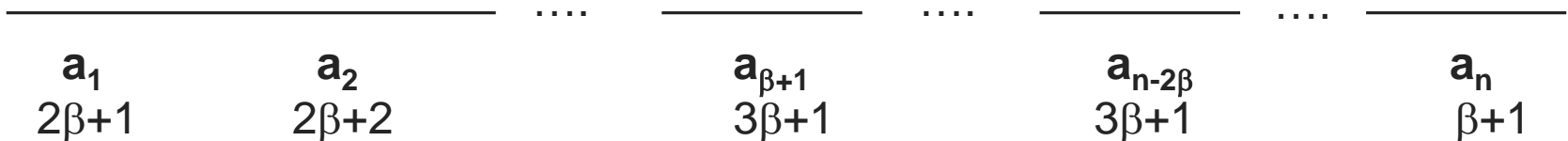
Перестановки

Перестановки, возникающие при выборе главного элемента в ленточной матрице при сохранении LU -разложения увеличивают β . Последствия для векторных и параллельных компьютеров более серьезные, чем для последовательных.

Пример. На первом шаге переставлены первая и пятая строка при $\beta=4$

```
* * * * *
* * * * *
* * * * *
* * * * *
* * * * *
```

В результате во 2,3,4,5 строках возникает заполнение. Т.о. ширина ленты над главной диагональю фактически удваивается; так будет и в дальнейшем, если потребуются дополнительные «наихудшие» перестановки



Последовательный вариант решения ленточных матриц

$$Ax = F$$

$$A_i x_{i-1} + B_i x_i + C_i x_{i+1} = F_i$$

Трехдиагональная матрица

Идея метода прогонки

$$x_i = \alpha_{i+1} x_{i+1} + \beta_{i+1} \quad \text{- предположение}$$
$$i = n - 1, n - 2, \dots, 1$$

выразим x_{i-1} и x_i через x_{i+1}

$$(A_i \alpha_i \alpha_{i+1} + B_i \alpha_{i+1} + C_i) x_{i+1} + A_i \alpha_i \beta_{i+1} + A_i \beta_i + B_i \beta_{i+1} - F_i = 0$$

$$\begin{cases} A_i \alpha_i \alpha_{i+1} + B_i \alpha_{i+1} + C_i = 0 \\ A_i \alpha_i \beta_{i+1} + A_i \beta_i + B_i \beta_{i+1} - F_i = 0 \end{cases}$$

Идея метода прогонки (1)

$$\begin{cases} \alpha_{i+1} = \frac{-C_i}{A_i \alpha_i + B_i} \\ \beta_{i+1} = \frac{F_i - A_i \beta_i}{A_i \alpha_i + B_i} \end{cases}$$

Из первого уравнения получим:

$$\begin{cases} \alpha_2 = -C_1/B_1 \\ \beta_2 = F_1/B_1 \end{cases}$$

$$x_i = \alpha_{i+1} x_{i+1} + \beta_{i+1}, i = n - 1 \dots 1$$

$$x_n = \frac{F_n - A_n \beta_n}{B_n + A_n \alpha_n}$$

Блочные методы

Рассмотренные методы хороши, когда β большая.

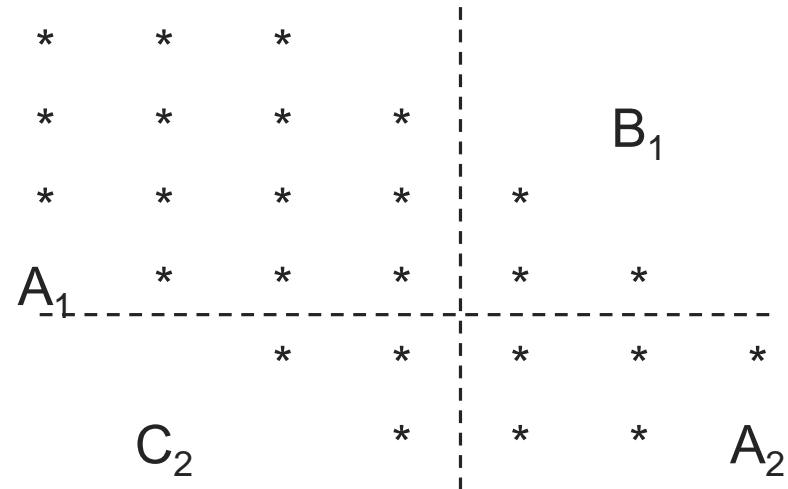
Если β небольшое, то можно рассмотреть «блочные методы»

$$\begin{bmatrix} A_1 & B_1 & & & \\ C_2 & A_2 & B_2 & & \\ & \cdot & \cdot & \cdot & \\ & & \cdot & \cdot & B_{p-1} \\ & & & C_p & A_p \end{bmatrix} \begin{bmatrix} x_1 \\ x_2 \\ \cdot \\ \cdot \\ x_p \end{bmatrix} = \begin{bmatrix} b_1 \\ b_2 \\ \cdot \\ \cdot \\ b_p \end{bmatrix}$$

Здесь $q = n/p$ и A_i – матрица $q \times q$, x_i , b_i – вектора длины q

Блочные методы (продолжение)

Пусть A_i – невырожденная и достаточно устойчивая к LU-разложению матрица



Решим параллельно q частных наборов систем уравнений

$$A_i W_i = B_i; \quad A_i V_i = C_i; \quad A_i d_i = b_i$$

Блочные методы (продолжение)

$$\begin{bmatrix} A_1^{-1} & & 0 \\ & A_2^{-1} & \\ & & \ddots \\ 0 & & A_p^{-1} \end{bmatrix} \begin{bmatrix} A_1 & B_1 \\ C_2 & A_2 & B_2 \\ & \ddots & \\ C_p & A_p \end{bmatrix} = \begin{bmatrix} A_1^{-1}A_1 & A_1^{-1}B_1 & & \\ A_2^{-1}A_2 & A_2^{-1}A_2 & A_2^{-1}B_2 & \\ \cdot & \cdot & \cdot & \cdot \\ \cdot & \cdot & \cdot & \cdot \end{bmatrix} = \begin{bmatrix} I & W_1 & & \\ V_2 & I & W_2 & \\ \cdot & \cdot & \cdot & \cdot \\ & & V_p & I \end{bmatrix}$$

$$\begin{bmatrix} A_1^{-1} & & 0 \\ & A_2^{-1} & \\ & & \ddots \\ 0 & & A_p^{-1} \end{bmatrix} \begin{bmatrix} b_1 \\ \cdot \\ \cdot \\ b_p \end{bmatrix} = \begin{bmatrix} A_1^{-1}b_1 \\ \cdot \\ \cdot \\ A_p^{-1}b_p \end{bmatrix} = \begin{bmatrix} d_1 \\ \cdot \\ \cdot \\ d_p \end{bmatrix}$$

$$\begin{bmatrix} I & W_1 & & \\ V_2 & I & W_2 & \\ \cdot & \cdot & \cdot & \cdot \\ & & V_p & I \end{bmatrix} \begin{bmatrix} x_1 \\ \cdot \\ \cdot \\ x_p \end{bmatrix} = \begin{bmatrix} d_1 \\ \cdot \\ \cdot \\ d_p \end{bmatrix}$$

Блочные методы (продолжение)

j -й столбец матрицы W_i/V_i заполнен, если не равны нулю соответствующие столбцы в матрицах B_i/C_i

Структура редуцированной системы

Предполагаем, что

$W_{i1}, W_{i3}, V_{i1}, V_{i3}$

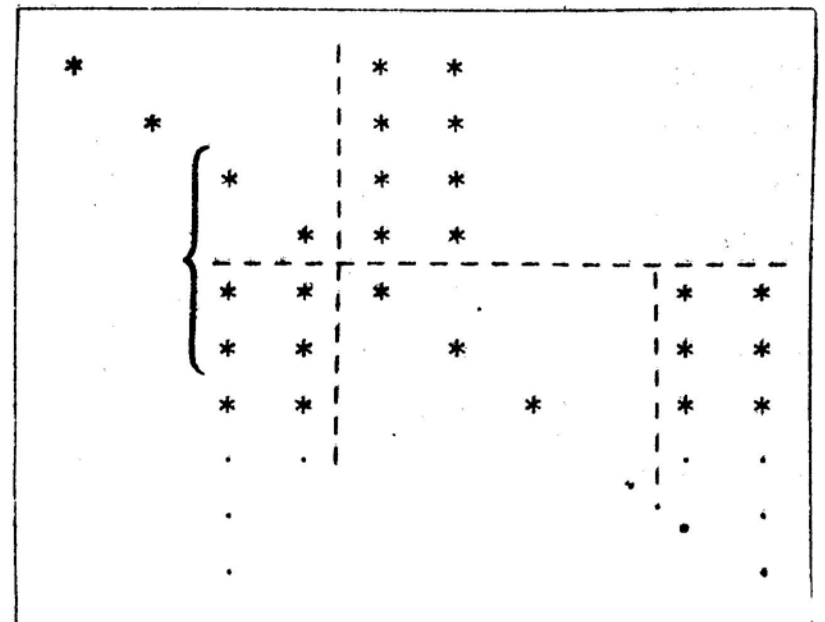
имеют размерность $\beta \times \beta$,

а, соответственно, W_{i2}, V_{i2}

имеют размерность $(q - 2\beta) \times \beta$

Аналогичным образом представлены

x_i и d_i



$$W_i = \begin{bmatrix} W_{i1} & 0 \\ W_{i2} & 0 \\ W_{i3} & 0 \end{bmatrix}, \quad V_i = \begin{bmatrix} 0 & V_{i1} \\ 0 & V_{i2} \\ 0 & V_{i3} \end{bmatrix}, \quad x_i = \begin{bmatrix} x_{i1} \\ x_{i2} \\ x_{i3} \end{bmatrix}, \quad d_i = \begin{bmatrix} d_{i1} \\ d_{i2} \\ d_{i3} \end{bmatrix}$$

Блочные методы (продолжение)

Пользуясь этими представлениями, можно записать первое блочное уравнение

$$\mathbf{x}_1 + W_1 \mathbf{x}_2 = \mathbf{d}_1$$

Не зависят от \mathbf{x}_{i2}

$$\begin{bmatrix} \underline{x_{11}} \\ x_{12} \\ \underline{x_{13}} \end{bmatrix} + \begin{bmatrix} \underline{W_{11}} \\ W_{12} \\ \underline{W_{13}} \end{bmatrix} x_{21} = \begin{bmatrix} \underline{d_{11}} \\ d_{12} \\ \underline{d_{13}} \end{bmatrix}$$

Аналогично, второе блочное уравнение $V_2 \mathbf{x}_1 + \mathbf{x}_2 + W_2 \mathbf{x}_3 = \mathbf{d}_2$

$$\begin{bmatrix} \underline{V_{21}} \\ V_{22} \\ \underline{V_{23}} \end{bmatrix} x_{13} + \begin{bmatrix} \underline{x_{21}} \\ x_{22} \\ \underline{x_{23}} \end{bmatrix} + \begin{bmatrix} \underline{W_{21}} \\ W_{22} \\ \underline{W_{23}} \end{bmatrix} x_{31} = \begin{bmatrix} \underline{d_{21}} \\ d_{22} \\ \underline{d_{23}} \end{bmatrix}$$

Тоже самое делается для остальных блочных уравнений.



[Блочные методы (продолжение)

$$x_{13} + W_{13}x_{21} = d_{13},$$

$$V_{21}x_{13} + x_{21} + W_{21}x_{31} = d_{21},$$

Редуцированная система

$$V_{23}x_{13} + x_{23} + W_{23}x_{31} = d_{23},$$

.....

$$x_{12} = d_{12} - W_{12}x_{21}, \quad x_{22} = d_{22} - V_{22}x_{13} - W_{22}x_{31}$$

$$x_{i2} = d_{i2} - V_{i2}x_{i-1,3} - W_{i2}x_{i+1,1}$$

Блочный алгоритм Лори-Самеха

- Шаг 1. Выполнить LU -разложение для A_i и решить системы для V_i, W_i, d_i
- Шаг 2. Решить редуцированную систему относительно векторов x_{i1}, x_{i3}
- Шаг 3. Вычислить векторы x_{i2} , а затем вычислить x_{11}, x_{p3}

Шаги 1,3 имеют степень параллелизма p и решение i -го уравнения поручается i -му процессору.

Потенциально узкое место – решение редуцированной системы

Блочный алгоритм Лори-Самеха (продолжение)

Порядок редуцированной системы для различных p и β $(2\beta(p-1))$

$p \setminus \beta$	1	2	10	20	50
2	2	4	20	40	100
10	18	36	180	360	900
20	38	76	380	760	1900
50	98	196	980	1960	4900